



(12)

## CERERE DE BREVET DE INVENȚIE

(21) Nr. cerere: **a 2022 00663**

(22) Data de depozit: **20/10/2022**

(41) Data publicării cererii:  
**30/04/2024** BOPI nr. **4/2024**

(71) Solicitant:

• INSTITUTUL NAȚIONAL DE CERCETARE  
DEZVOLTARE PENTRU FIZICA  
MATERIALELOR, STR.ATOMIȘTILOR,  
NR.405A, CP.MG-7, MĂGURELE, IF, RO

(72) Inventatori:

• NEDELCU LIVIU, STR.REACTORULUI,  
NR.3A, AP.4, MĂGURELE, IF, RO;  
• BANCIU MARIAN GABRIEL, BD. IULIU  
MANIU NR. 168, BL. 39, SC. 1, ET. 7, AP.30,  
SECTOR 6, BUCUREȘTI, B, RO;

• GEAMBAŞU CEZAR DRAGOS,  
STR.ATOMIȘTILOR, NR.140, BL.A3, AP.4,  
MĂGURELE, IF, RO;  
• GRIGOROȘCUȚĂ MIHAI - ALEXANDRU,  
STR.VALEA OLTULUI, NR.24, BL.D31,  
SC.B, ET.1, AP.20, SECTOR 6,  
BUCUREȘTI, B, RO;  
• BURDUŞEL MIHAIL, BD.UNIRII, NR.64,  
BL.K4, SC.2, ET.2, AP.39, SECTOR 3,  
BUCUREȘTI, B, RO;  
• BĂDICĂ PETRE, BD. DINICU GOLESCU  
NR. 37, SC. B, ET. 3, AP. 48, SECTOR 1,  
BUCUREȘTI, B, RO

### (54) ANTENĂ PENTRU BANDA DE FRECVENTĂ 5G N79 CU REZONATOR DIELECTRIC TRIUNGHIALAR FABRICAT PRIN SINTERIZARE ASISTATĂ DE CÂMP ELECTRIC

(57) Rezumat:

Invenția se referă la o antenă de microunde cu rezonator dielectric și la un procedeu de obținere a rezonatorului. Antena conform inventiei este alcătuită dintr-un rezonator (3) dielectric fabricat din  $Zr_{0.8}Sn_{0.2}TiO_4$  (ZST), având o formă triunghiulară, cu colțurile rotunjite și dintr-o linie microstrip (4) pentru alimentarea semnalului de microunde, realizată pe un substrat (2) dielectric, în care rezonatorul (3) este poziționat la o distanță  $L_1$  de capătul liniei microstrip (4), iar la distanța  $L_2$  de axa de simetrie a liniei microstrip (4) are o latură rotită cu un unghi alfa față de linia microstrip (4), pentru conectarea ușoară la un circuit de emisie-recepție, antena astfel formată fiind prevăzută cu un conector (5) coaxial. Procedeul de obținere a rezonatorului dielectric constă în calcinarea pulberii ZST la  $1450^{\circ}C$  timp de 4 ore, urmată de o sinterizare asistată de câmp electric, la  $1100^{\circ}C$ , timp de 3 minute.

Revendicări: 2

Figuri: 7

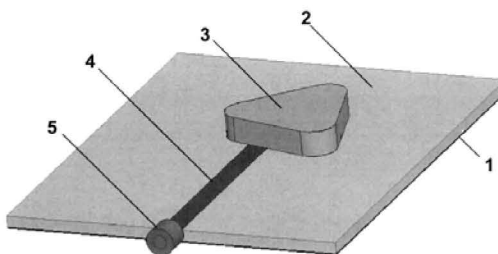


Fig. 1

Cu începere de la data publicării cererii de brevet, cererea asigură, în mod provizoriu, solicitantului, protecția conferită potrivit dispozitîilor art.32 din Legea nr.64/1991, cu excepția cazurilor în care cererea de brevet de inventie a fost respinsă, retrasă sau considerată ca fiind retrasă. Întinderea protecției conferite de cererea de brevet de inventie este determinată de revendicările conținute în cererea publicată în conformitate cu art.23 alin.(1) - (3).



## Descrierea brevetului de invenție

### **Antenă pentru banda de frecvență 5G N79 cu rezonator dielectric triunghiular fabricat prin sinterizare asistată de câmp electric**

elaborată de

Liviu NEDELCU, Marian Gabriel BANCIU, Cezar Dragoș GEAMBĂSU, Mihai Alexandru GRIGOROȘCUTĂ, Mihail BURDUŞEL, Petre BĂDICĂ

33

OFICIUL DE STAT PENTRU INVENTII SI MARCI
Cerere de brevet de Invenție
Nr. .... a 2022 00 663
20 -10- 2022
Data depozit .....

#### **1. Stadiul tehnicii**

Prezenta invenție se referă la

- un procedeu de densificare a pulberilor  $Zr_{0.8}Sn_{0.2}TiO_4$ , fără dopanți, sub formă de corp solid cu pierderi dielectrice reduse în domeniul microundelor;
- rezonator dielectric din  $Zr_{0.8}Sn_{0.2}TiO_4$  sub formă de triunghi echilateral cu colțuri rotunjite fabricat prin sinterizare asistată de câmp electric;
- antenă cu rezonator dielectric tringhiular pe bază de  $Zr_{0.8}Sn_{0.2}TiO_4$  pentru comunicații 5G în banda de frecvență N79 (4400 – 5000 MHz).

Corpurile masive din  $Zr_{0.8}Sn_{0.2}TiO_4$  (ZST) sunt utilizate în comunicațiile pe purtătoare de microunde și se produc prin diferite metode [M.T. Sebastian, Dielectric materials for wireless communications, Elsevier, Oxford (2008)]. Tehnologia ceramică convențională este de departe cea mai folosită, fiind ieftină, relativ simplă și scalabilă. Aceasta constă în: 1. Dozarea și omogenizarea pulberilor de  $ZrO_2$ ,  $SnO_2$  și  $TiO_2$ ; 2. Calcinarea amestecului de pulberi; 3. Doparea și omogenizarea pulberilor calcinate (dopanții pot fi adăugați de la prima etapă). 4. Formarea semifabricatului prin compactare în matrițe sau șabloane; 5. Sinterizarea; 6. Rectificarea și finisarea compactului sinterizat.

Compusul ZST este, în general, dificil de densificat și necesită temperaturi de sinterizare ridicate (~ 1600 °C). Capacitatea lui de a se sinteriza crește cu adăugarea aditivilor dar aceștia nu au întotdeauna un efect benefic asupra proprietăților de microunde. Datorită importanței aplicative au fost efectuate multe încercări de îmbunătățire a proprietăților prin adăugarea de dopanți ca aditivi de sinterizare. În brevetul US 4665041 A1 se folosesc  $ZnO$  și  $NiO$  în combinație cu  $Nb_2O_5$ ,  $Ta_2O_5$ ,  $WO_3$  sau  $Sb_2O_5$ , reușindu-se astfel densificarea pulberilor ZST la temperaturi de sinterizare între 1350 °C și 1450 °C; similar, în brevetul US 20080009404 A1 se reduce temperatura de sinterizare la 1300 - 1400 °C prin doparea simultană cu  $ZnO$ ,  $NiO$  și  $SiO_2$ . Reducerea temperaturii de sinterizare la 1450 °C (EP 2657206 B1) se poate realiza și prin simpla dopare cu  $MnO_2$ . Cele trei brevete menționate mai sus prezintă în detaliu o gamă largă de eșantioane ceramice din sistemul trenar  $\alpha$   $ZrO_2$ - $\beta$   $SnO_2$ - $\gamma$   $TiO_2$  ( $\alpha + \beta + \gamma = 1$ ), rezonatorii dielectrici  $Zr_{0.8}Sn_{0.2}TiO_4$  având proprietăți remarcabile în domeniul microundelor: i) constantă dielectrică mare ( $\epsilon_r \sim 38$ ); ii) pierderi reduse ( $Q \times f > 40.000$  GHz); și iii) stabilitate termică ridicată ( $|\tau_f| \leq 10 ppm/K$ ). Antena este

Director General INCDFM  
Dr. Ionut Erneagăescu



32

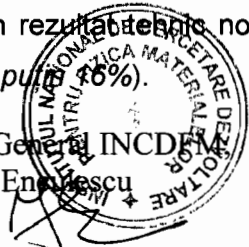
factorul de calitate (inversul tangentei unghiului de pierderi) măsurat la frecvența  $f$  iar  $\tau_f$  reprezintă coeficientul de variație cu temperatura al frecvenței de rezonanță. Se preferă exprimarea pierderilor dielectrice prin produsul  $Q \times f$  deoarece acesta este considerat o constantă de material atunci când contribuția defectelor este redusă.

“Spark Plasma Sintering” (SPS) este o tehnică de sinterizare asistată de câmp electric (descărcare în plasmă) care utilizează forța mecanică uniaxială și un curent electric continuu pulsat pentru consolidarea pulberilor. Curentul este aplicat pe poanoanele unei mătrițe de grafit încărcată cu pulberea de sinterizat [O. Guillon și colab., J. Adv. Eng. Mater. **16** 830 (2014)]. SPS permite aplicarea unor viteze ridicate de încălzire (uzual până la 500°C/min) și de răcire, fiind o tehnică mai flexibilă comparativ cu alte tehnici cunoscute. Se pot obține corpuri masive cu densități apropiate de valorile teoretice, menținându-se în același timp dimensiunea particulelor inițiale. În plus, prin crearea unor forme complexe [C. Maniere și colab., Powder Technol. **320** 340 (2017)], este posibilă creșterea functionalității materialului compactat și astfel se pot îmbunătăți caracteristicile de funcționarea ale dispozitivelor. De-a lungul timpului, SPS a fost utilizată cu succes pentru sinterizarea unor clase diverse de materiale [Z.Y. Hu și colab., Mater. Des. **191** 108662 (2020)], inclusiv dielectrii de microunde [Y. Guo și colab., Jpn. J. Appl. Phys **43** 7410 (2003); L. Cheng și colab., Scr. Mater. **115** 80 (2016); M. Dolhen și colab., J. Eur. Ceram. Soc. **40** 4164 (2020)]. Recent, corpuri masive dense (99,6%) cu pierderi dielectrice reduse în domeniul microundelor ( $Q \times f \sim 50.000$  GHz) s-au obținut prin SPS din pulberi ZST dopate cu La<sub>2</sub>O<sub>3</sub> și ZnO [L. Nedelcu și colab., Materials **15** 1258 (2022)].

Materialele dielectrice de microunde stabilizate termic au contribuit decisiv la progresul sistemelor de comunicații fără fir, terestre și spațiale, prin reducerea dimensiunii și costului dispozitivelor și subansamblurilor [S.J. Fieduszko și colab., IEEE Trans. Microw. Theory Techn. **50** 706 (2002); I.M. Reaney și colab., J. Am. Ceram. Soc. **89** 2063 (2006); M.T. Sebastian și colab., Int. Mater. Rev. **60** 392 (2015)]. În acest sens, rezonatorii dielectrii ZST au fost fabricați și integrați în componente pasive pentru microunde de companii precum Murata, TDK, Kyocera, TransTech, Siemens. Pe lângă dispozitivele selective, ceramicile ZST pot fi utilizate cu succes ca radiatoare foarte eficiente, aşa numitele antene cu rezonator dielectric (ARD). Acestea au puține piese metalice și o eficiență ridicată în comparație cu alte tipuri de antene. Constanta dielectrică ridicată conduce la o dimensiune compactă a rezonatorului iar stabilitatea termică ajută la obținerea unei antene cu o derivă termică îmbunătățită. Mai mult, un alt mare avantaj este modalitatea ușoară de cuplare a ARD-urilor la liniile de alimentare datorită faptului că o parte a câmpului electromagnetic există în vecinătatea rezonatorului.

Prezenta inventie se încadrează conform Art. 9c) din regulamentul de aplicare a legii 64/1991 drept activitate inventivă astfel: o combinație de caracteristici noi sau cunoscute (rezonator dielectric ZST dens, fără dopanți, cu formă triunghiulară și colțuri rotunjite) realizată în aşa fel încât acestea să își potențeze reciproc efectele și să se obțină un rezultat tehnic nou (antenă în banda 5G – N79 cu volum și profil redus și bandă de lucru de cel puțin 16%).

Director General INCDFM  
Dr. Ionut Enciușescu



## 2. Problema tehnică rezolvată de invenție

Invenția rezolvă problema specifică metodelor de procesare convenționale utilizate în prezent respectiv a limitărilor în obținerea densităților masice mari ale corpului masiv ZST datorate sinterabilității reduse a compușilor din sistemul ternar  $ZrO_2 - SnO_2 - TiO_2$ .

De asemenea, invenția rezolvă problema reducerii volumului materialului dielectric și a profilului antenei concomitent cu îmbunătățirea unor parametrii de dispozitiv cum ar fi lărgimea de bandă, caștigul maxim și caracteristica de directivitate.

## 3. Avantajele invenției în raport cu stadiul tehnicii

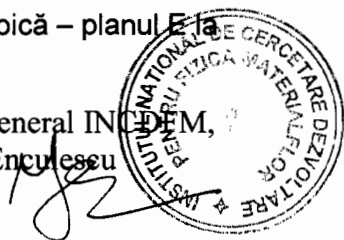
ARD-urile sunt folosite datorită gabaritului redus, a pierderilor prin conduction scăzute care conduc la o eficiență a radiației crescute etc. Dintre diferitele forme de rezonatori dielectriți, cei de forma unui triunghi echilateral permit realizarea unor antene cu un profil scăzut, adică rezonatorul va funcționa ca antenă și când înălțimea lui este mult mai mică decât a triunghiului echilateral. Sunt cunoscute ARD-uri în formă de triunghi echilateral care au, pentru o frecvență dată, 92% din volumul unui rezonator cilindric sau 48 % din volumul unui rezonator rectangular [Aldo Petosa, Dielectric resonator antenna handbook, Artech House, Boston, London, Norwood MA 02062, 2007, section 4.4.2 Triunghiular DRA pg. 107-108]. Totuși, a fost arătat în această referință că o astfel de ARD are o bandă fracționară de frecvență de doar 5%, insuficientă pentru multe aplicații. Tot o bandă îngustă de 3,8 % este raportată și pentru o ARD triunghiulară excitată printr-o fantă dreptunghiulară de la o linie microstrip [Y. Lo și colab., Electron. Lett. **35** 25 (1999)]. Față de stadiul tehnicii, antena produsă conform invenției oferă avantajul unei benzi de lucru de cel puțin 16% menținând un profil scăzut al rezonatorului de 3,2 mm.

## 4. Prezentarea pe scurt a figurilor

Se prezintă în continuare un exemplu de realizare a invenției în legatură cu figurile 1 – 7, care se referă la :

- fig. 1 – vedere de ansamblu a antenei
- fig. 2 – vedere de sus a antenei evidențiind poziționarea rezonatorului dielectric față de linia microstrip
- fig. 3 – dependența coeficientului de reflexie măsurat funcție de frecvență
- fig. 4 – caracteristica de directivitate măsurată în cameră anechoică – planul E la frecvența 4,395 GHz
- fig. 5 – caracteristica de directivitate măsurată în cameră anechoică – planul H la frecvența 4,395 GHz
- fig. 6 – caracteristica de directivitate măsurată în cameră anechoică – planul E la frecvența 4,845 GHz

Director General INCOFEM,  
Dr. Ionut Enculescu



- fig. 7 – caracteristica de directivitate măsurată în cameră anechoică – planul H la frecvența 4,845 GHz

30

## 5. Prezentarea în detaliu a cel puțin a unui mod de realizare a invenției cu referire la figuri

Pulberile ZST au fost preparate prin reacție în fază solidă din pulberi oxidice ( $ZrO_2$ ,  $SnO_2$  și  $TiO_2$ ) de înaltă puritate (99.5 %). S-au identificat pașii pentru obținerea pulberilor fără faze secundare (lipsa fazelor secundare a fost confirmată prin analiza rezultatelor de difracție cu raze X:

1. omogenizare amestecului de pulberi în apă deionizată la 400 rotații pe minut timp de 4 ore în moara planetară cu vase și bile de zirconia;
2. calcinare în aer la 1450 °C timp de 4 ore;
3. măcinare secundară în apă deionizată la 400 rotații pe minut timp de 3 ore în moara planetară cu vase și bile de zirconia;

Amestecurile de la punctul 3 au fost densificate prin SPS, fără dopanți, folosind o instalație de sinterizare asistată de câmp electric produsă de FCT Systeme GmbH, Germania, după cum urmează:

4. o cantitate de 4 g de pulbere se încarcă într-o matriță din grafit, cu interior și poansoane în formă de triunghi echilateral cu colțuri rotunjite. Se folosesc folii separatoare de grafit între pulbere și matriță/poansoane;
5. se introduce matriță încărcată într-o presă hidraulică și se presează 1 minut la 5 kN;
6. se introduce ansamblul în instalația de sinterizare și se încălzește eșantionul cu o viteza de 100 °C pe minut;
7. presiunea uniaxială este crescută uniform până ce se atinge valoarea maximă de 70 MPa la începutul palierului de sinterizare;
8. durata de sinterizare pe palierul de 1100 °C este de 3 minute iar presiunea este menținută la 70 MPa;
9. se răcește lent până la 500 °C cu viteza de 30 °C pe minut și se reduce uniform presiunea până la 25 MPa;
10. se întrerupe curentul prin eșantion și se răcește până la temperatura camerei în aproximativ 10 minute.

În vederea obținerii rezonatorului dielectric triunghiliar cu parametrii adecvați, corpul ZST sinterizat prin SPS a fost șlefuit pentru eliminarea grafitului aderat superficial. Reducerea vacanțelor de oxigen s-a realizat printr-un tratament termic în aer la 1000 °C timp de 10 ore. Densitatea a fost măsurată prin metoda lui Arhimede cu un kit masură dedicat (YDK01MS) pe o balanță modulară Sartorius (CUBIS, MSA224S-1CE-DI) iar compozitia fazelor prin difracție

Director General INSTM,  
Dr. Ionut Enculescu



99

de raze X (Bruker-AXS D8 ADVANCE, radiatia CuK<sub>α1</sub>  $\lambda = 1,5406 \text{ \AA}$ ). Eșantioane ZST cu densificare mai mare de 99%, constantă dielectrică 38 și  $Q \times f \sim 50.000 \text{ GHz}$  au fost selectate pentru realizarea ARD-urilor.

După cum este arătat în fig. 1, antena de microunde conține un rezonator dielectric triunghiular (fig. 1 (3)) cu înălțimea  $h = 3,2 \text{ mm}$ , latura triunghiului  $a = 11,5 \text{ mm}$ , raza de curbură a colțurilor  $r = 3 \text{ mm}$ . Rezonatorul dielectric este cuplat cu o linie microstrip (fig. 1 (4)) de impedanță caracteristică de  $50 \Omega$  și lungime de 50 mm realizată din cupru pe un substrat dielectric (fig. 1 (2)) de permisivitate electrică relativă 4,4, tangenta unghiului de pierderi  $\tan \delta = 0,02$  măsurată la frecvența de 9,4 GHz și dimensiuni 48 mm x 60 mm x 1,6 mm. Pe cealaltă parte a substratului dielectric este realizat un plan de masă (fig. 1 (1)) din cupru. Pentru conectarea ușoară la circuitul de emisie / recepție, antena este prevazută cu un conector coaxial de tip SubMiniature version A - SMA (fig. 1 (5)).

Pentru obținerea unei benzi optime de frecvență, rezonatorul este plasat la distanța  $L_1 = 18 \text{ mm}$  de capătul liniei microstrip, distanța  $L_2 = 4,2 \text{ mm}$  față de axa liniei microstrip și rotit cu unghiul  $\alpha = 30^\circ$  după cum este arătat în fig. 2. În acest caz, modurile adiacente de la 4,395 GHz și 4,845 GHz se cuplează și ARD-ul va funcționa în banda 4,3 GHz – 5,05 GHz, după cum se poate vedea în fig. 3.

Caracteristicile de directivitate sunt prezentate pentru două frecvențe din banda N79. Pentru frecvența 4,395 GHz, caracteristicile de directivitate în planul E și planul H sunt arătate în fig. 4, respectiv fig. 5. De asemenea, pentru frecvența 4,845 GHz, caracteristicile de directivitate în planul E și planul H sunt arătate în fig. 6, respectiv fig. 7. Câștigul maxim al antenei este de ~ 6,3 dB la 4,7 GHz.

Materialul ZST cu densificare mai mare de 99% reduce greutatea antenei și îmbunătățește stabilitatea sa termică. Caracteristicile antenei o recomandă pentru aplicațiile de uz general în banda 5G N79.

## 6. Modul în care invenția este susceptibilă a fi aplicată industrial

Antenele compacte cu rezonator dielectric triunghiular din ZST contribuie la extinderea proprietăților funcționale prin formă. Acoperind întreaga bandă N79, antena descrisă în această invenție reprezintă o soluție eficientă pentru comunicații 5G fără fir.

Director General INCPFM,  
Dr. Ionut Enculescu



## Revendicările invenției



1. Procedeu de obținere a unui rezonator dielectric  $Zr_{0.8}Sn_{0.2}TiO_4$  (ZST) **caracterizat prin aceea că** pulberea ZST calcinată la  $1450^{\circ}\text{C}/4\text{h}$ , supusă unei sinterizări asistate de câmp electric la  $1100^{\circ}\text{C}$  timp de 3 minute, conduce la eșantioane care au densificări mai mari de 99% fără folosirea dopanțiilor.

2. Antenă de microunde cu rezonator dielectric conform revendicării 1 **caracterizată prin aceea că** rezonatorul dielectric ZST are o formă nouă triunghiulară cu colțurile rotunjite, alimentarea semnalului de microunde se face printr-o linie microstrip (Fig. 1 (4)) de impedanță caracteristică de 50 Ohmi, realizată pe substratul dielectric (Fig. 1 (2)), iar rezonatorul (Fig. 1 (3)) este poziționat la distanța  $L_1$  (Fig. 2) de capătul liniei microstrip, la distanța  $L_2$  (Fig. 2) de axa de simetrie a liniei microstrip, având o latură rotită cu unghiul  $\alpha$  (Fig. 2) față de linia microstrip.

București-Măgurele, octombrie 2022

Director General INCDFM,  
Dr. Ionut Enculescu



27

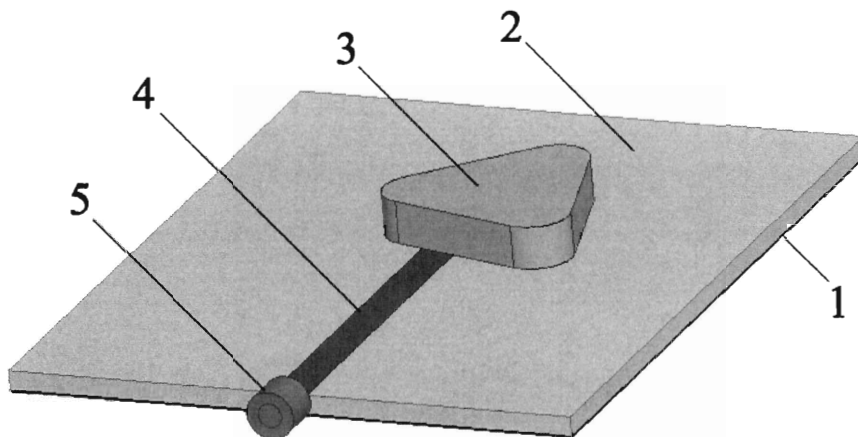


Fig. 1

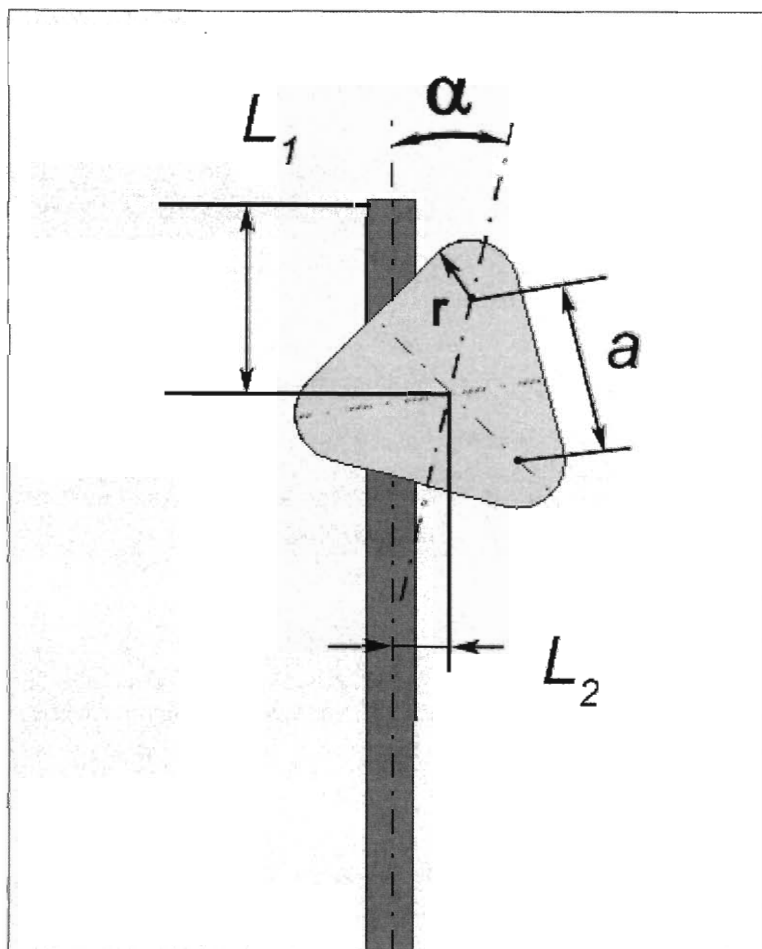


Fig. 2

Director General INCDFM,  
Dr. Ionut Enculescu



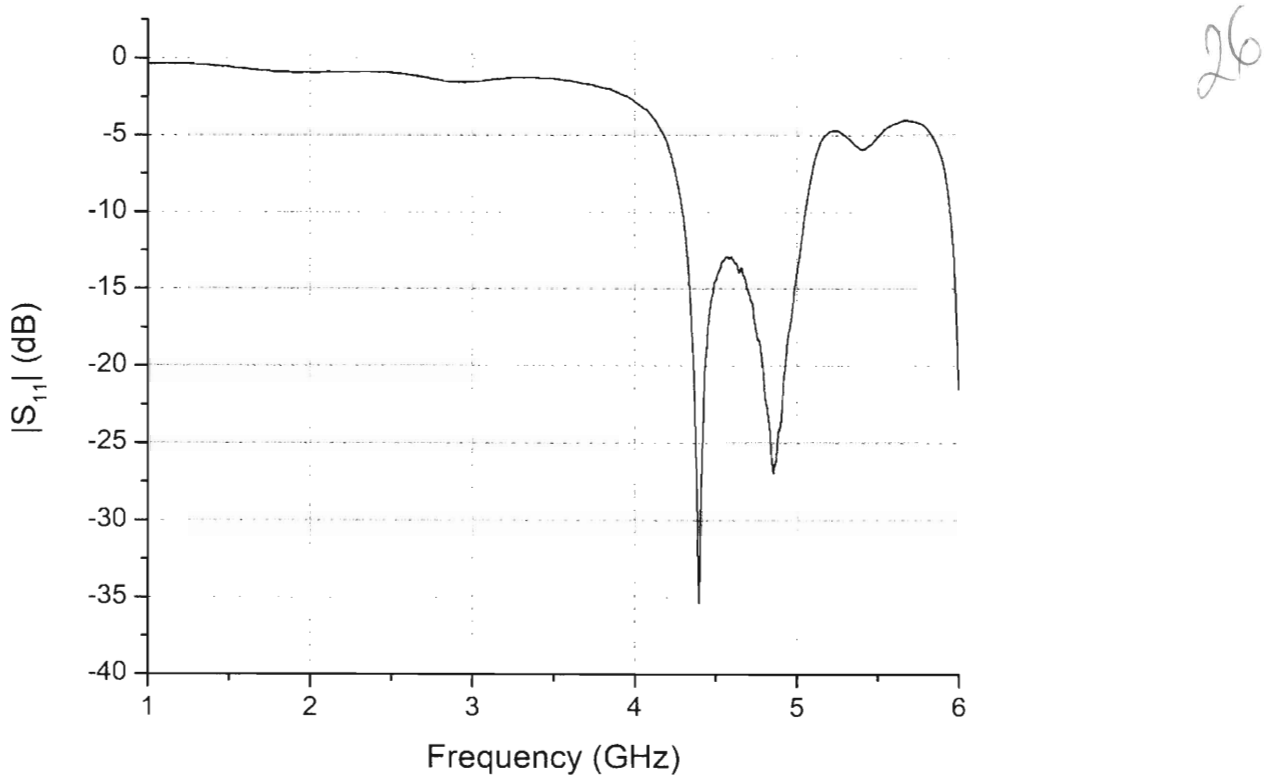


Fig. 3

Director General INCDFM,  
Dr. Ionut Enculescu



25

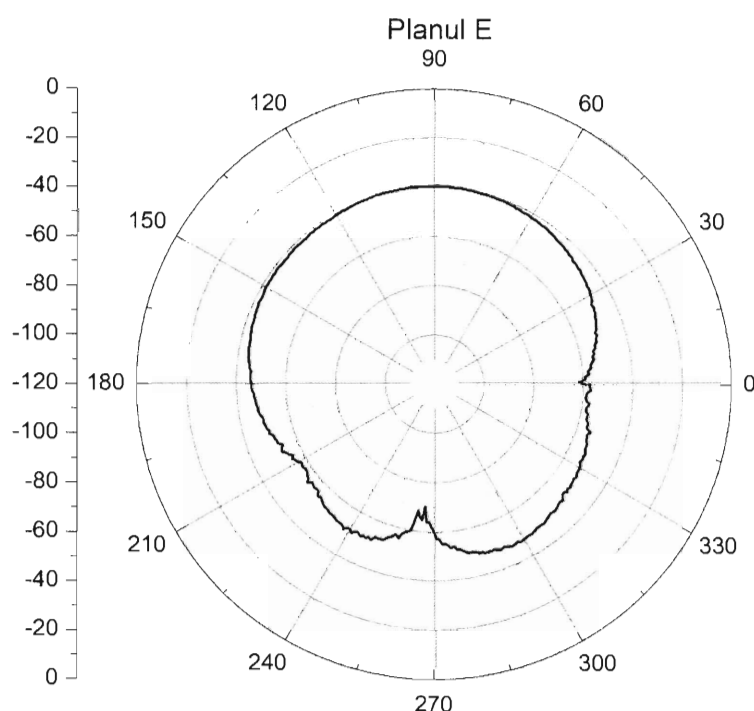


Fig. 4

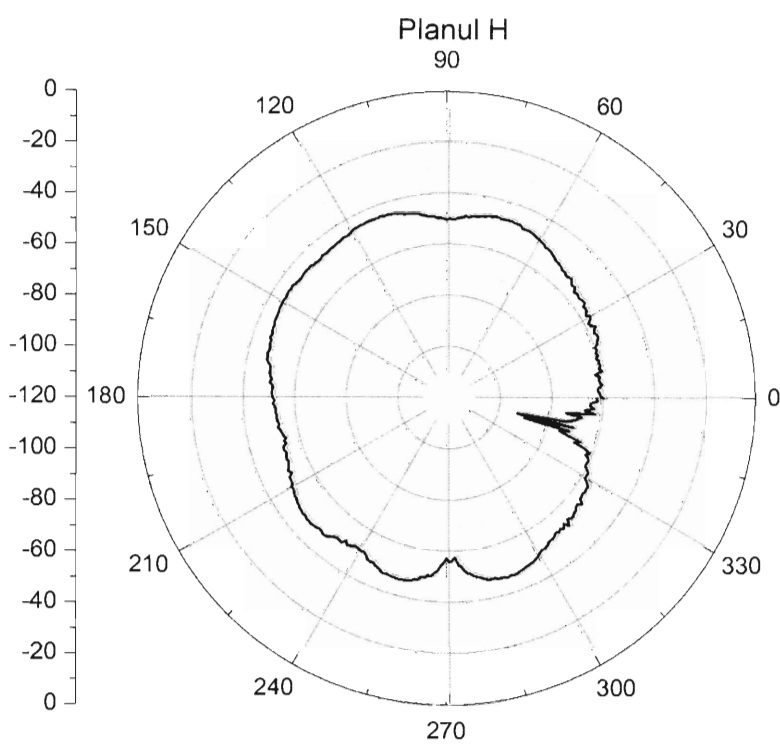


Fig. 5

Director General INCDFM,  
Dr. Ionut Enculescu



24

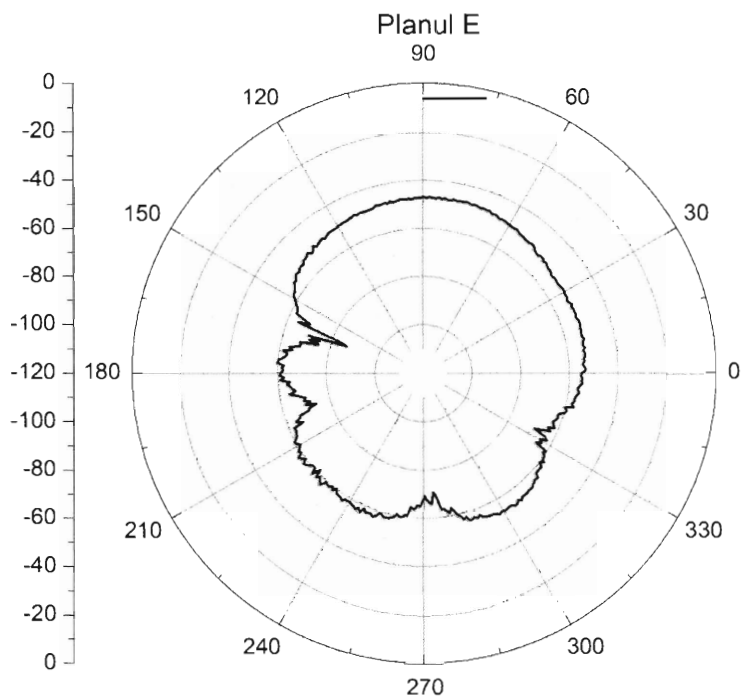


Fig. 6

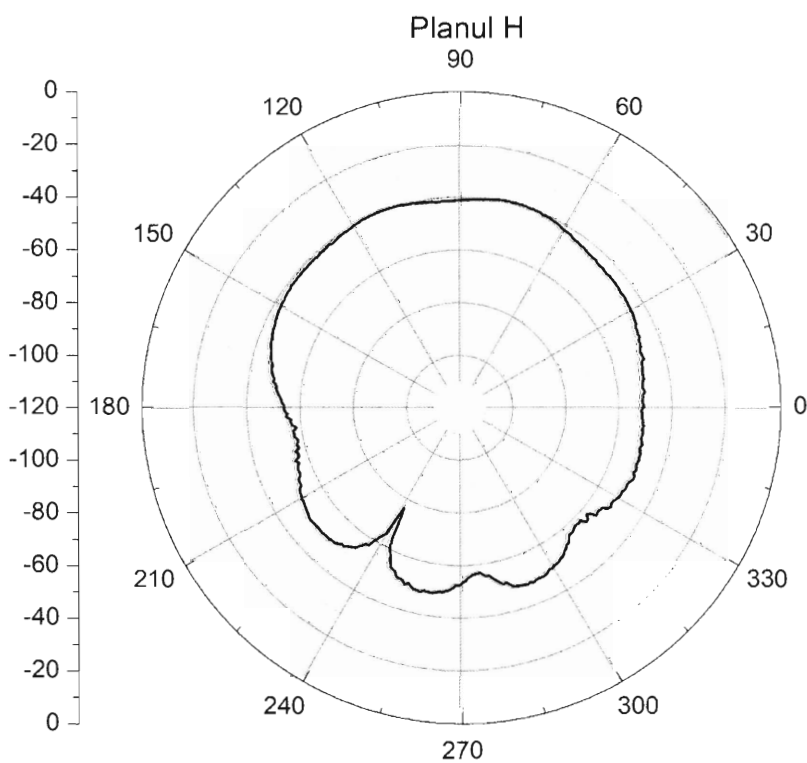


Fig. 7

Director General INCDFM,  
Dr. Ionut Enculescu

